



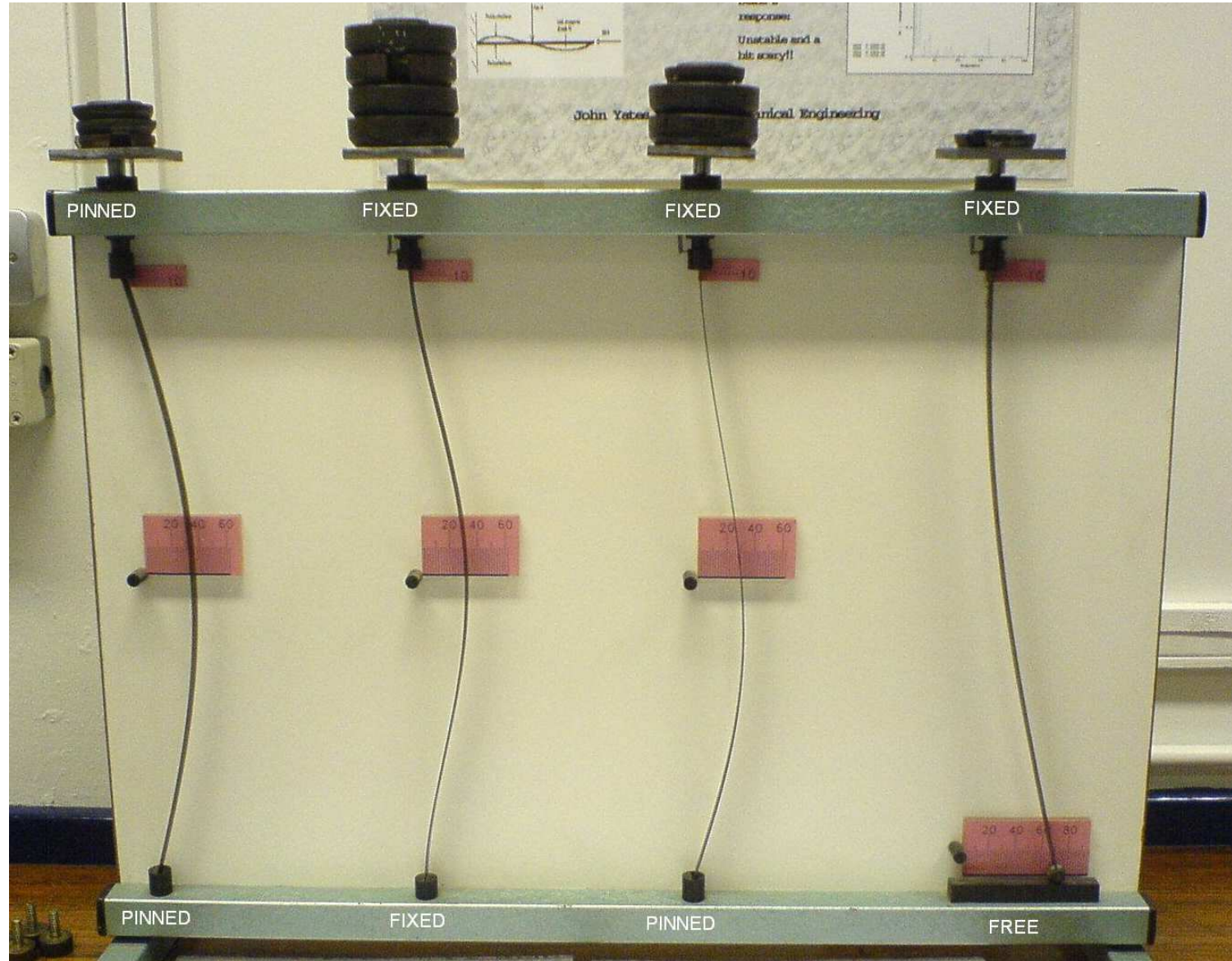
Resistencia de Materiales

INESTABILIDAD DE BARRAS PRISMÁTICAS. PANDEO

- Columna de Euler
- Influencia de las condiciones de apoyo. Longitud de pandeo.
- Tensión crítica de Euler. Radio de Giro. Esbeltez mecánica.

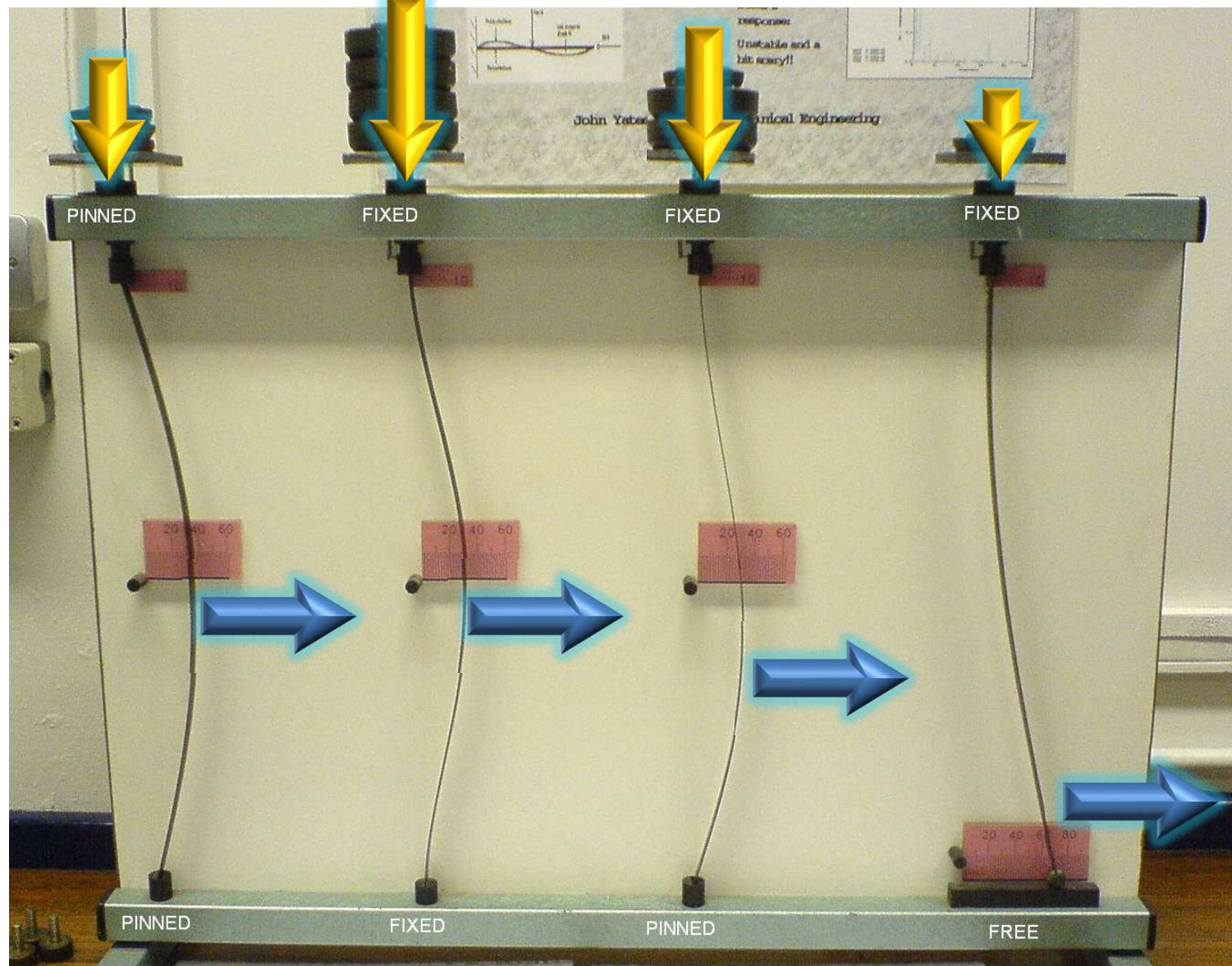
CONTENIDO DE LA ASIGNATURA

| |
|--|
| BLOQUE TEMÁTICO: ELASTICIDAD Y RESISTENCIA DE MATERIALES |
| CAPÍTULO 1: INTRODUCCIÓN A LA ELASTICIDAD Y LA RESISTENCIA DE MATERIALES |
| CAPÍTULO 2: EL SÓLIDO ELÁSTICO. |
| CAPÍTULO 3: CRITERIOS DE PLASTIFICACIÓN Y DE ROTURA |
| CAPÍTULO 4: RESISTENCIA DE MATERIALES. CONCEPTOS BÁSICOS |
| CAPÍTULO 5: TRACCIÓN Y COMPRESIÓN |
| CAPÍTULO 6: FLEXIÓN PLANA ELÁSTICA. |
| CAPÍTULO 7: INTRODUCCIÓN AL CÁLCULO PLÁSTICO |
| CAPÍTULO 8: FLEXO-COMPRESIÓN DESVIADA |
| CAPÍTULO 9: TORSIÓN |
| CAPÍTULO 10: POTENCIAL ELÁSTICO DE BARRAS. MÉTODOS ENERGÉTICOS |
| CAPÍTULO 11: INESTABILIDAD DE BARRAS PRISMÁTICAS. PANDEO |



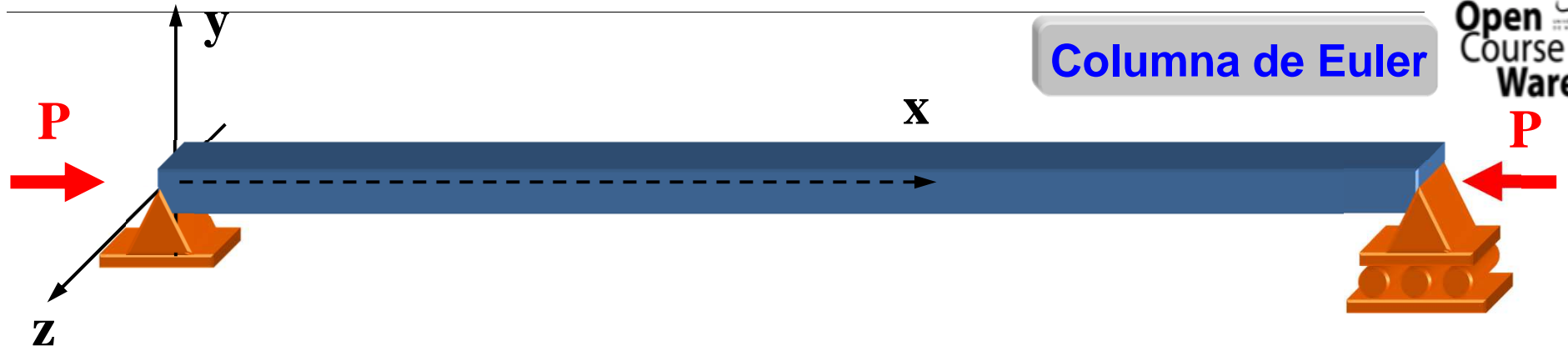
*fuente: Wikipedia.org



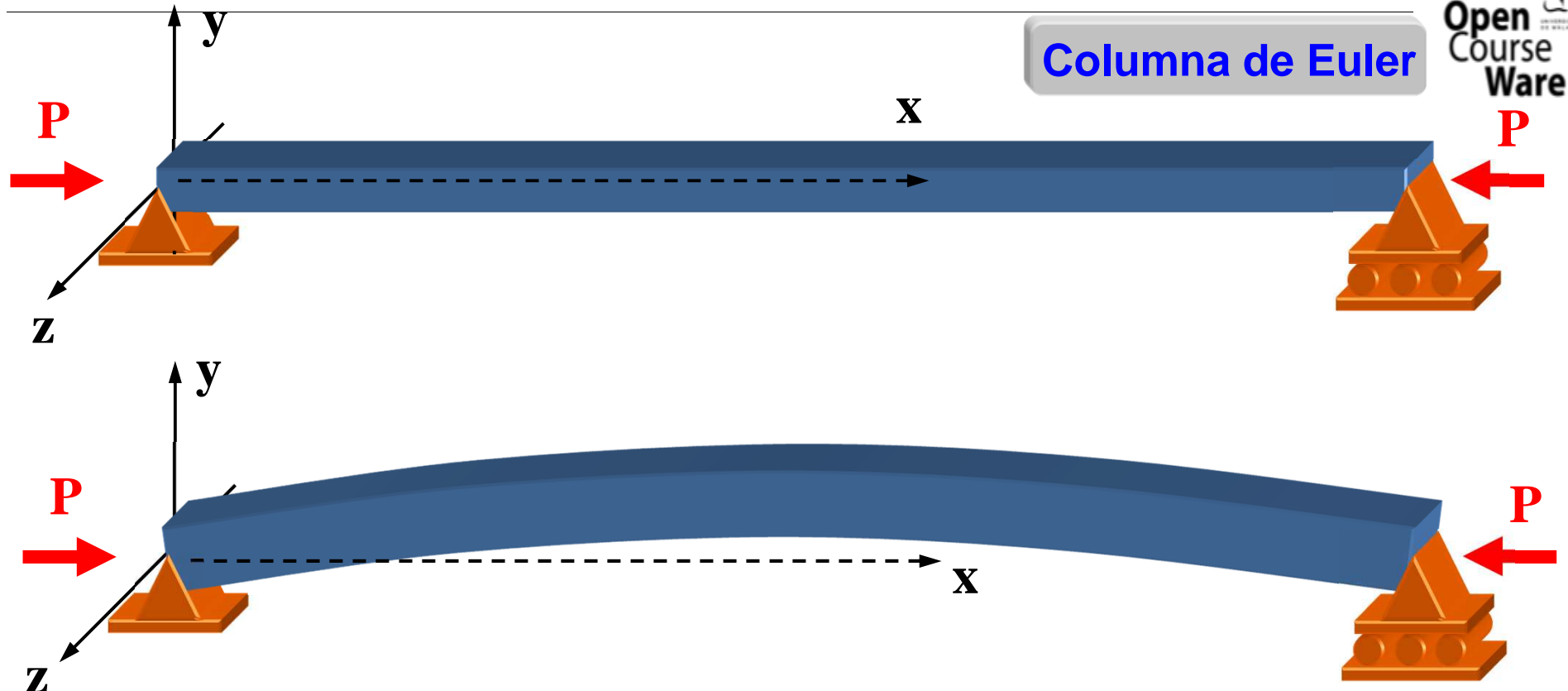


*fuente: Wikipedia.org

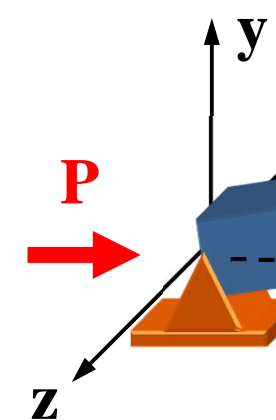
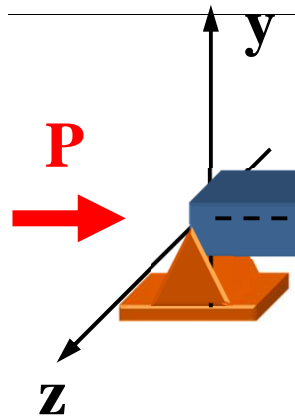
Columna de Euler



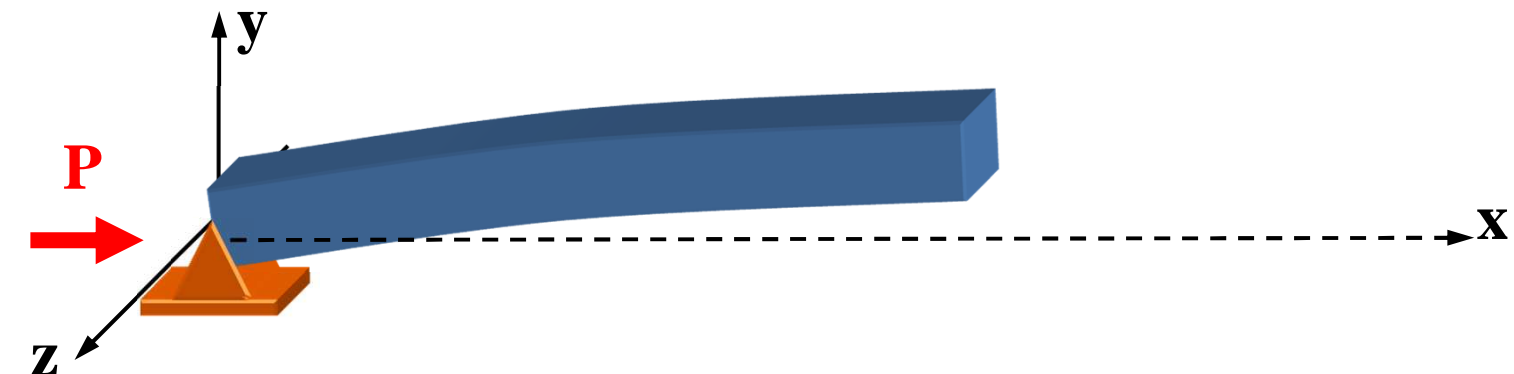
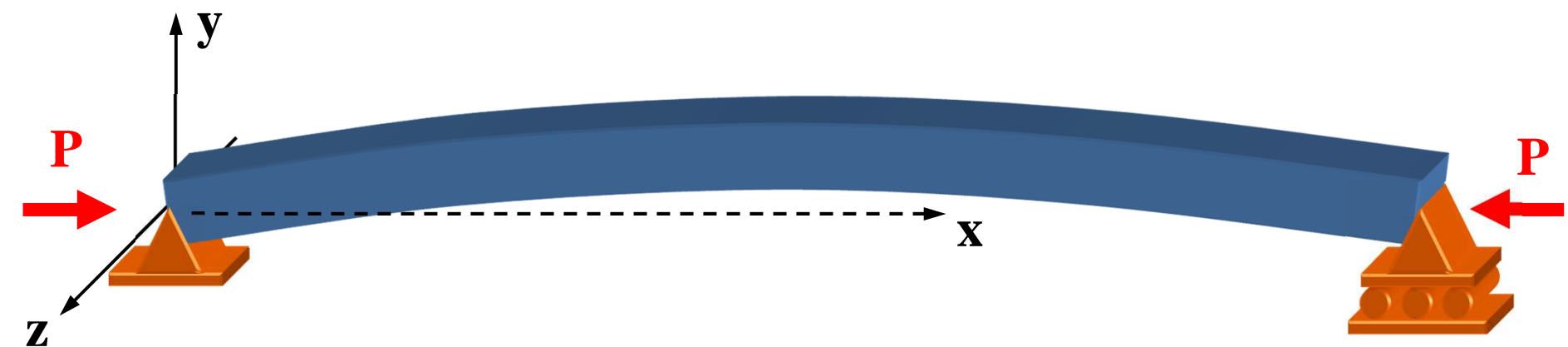
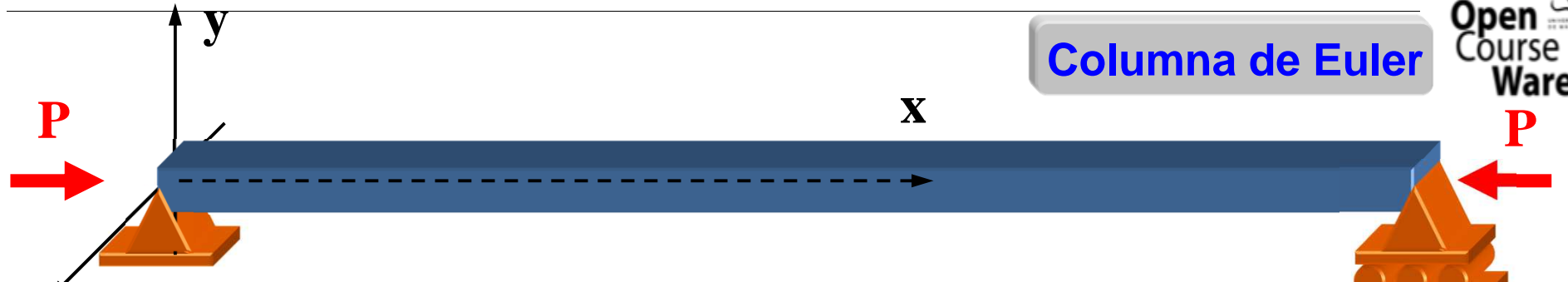
Columna de Euler



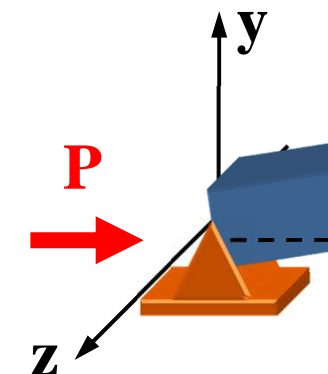
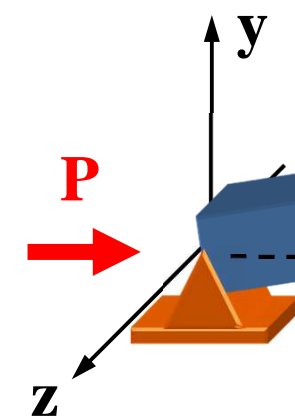
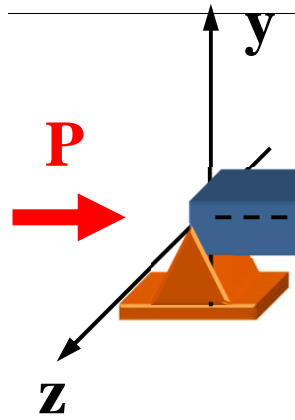
Columna de Euler

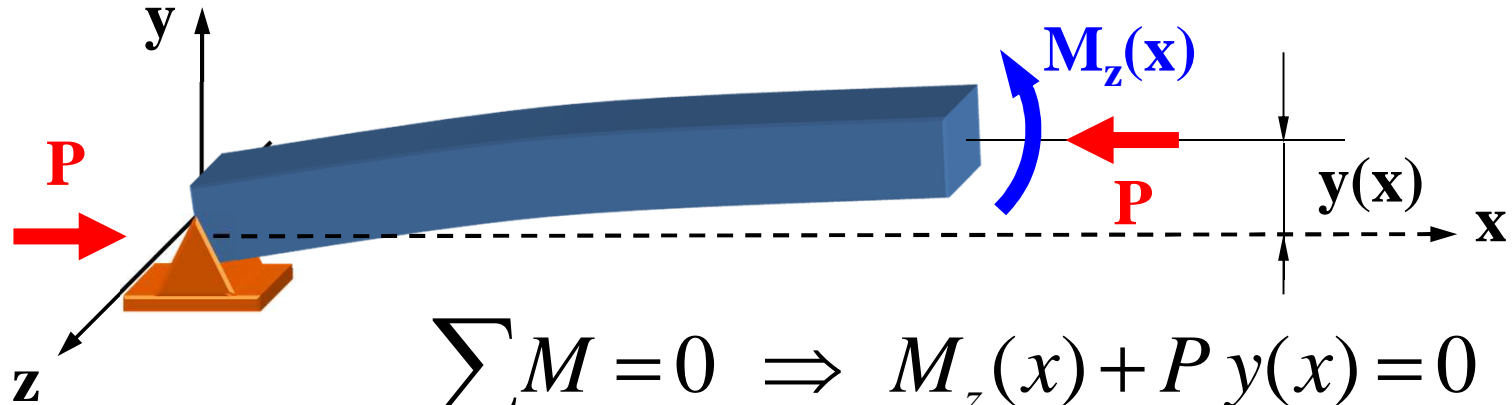
**X****P****X****P**

Columna de Euler



Columna de Euler





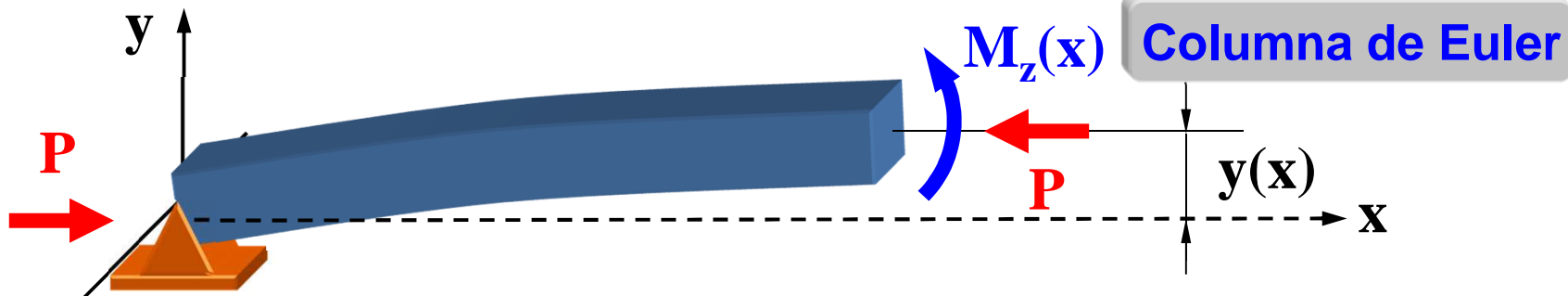
$$y''(x) = \frac{M_z(x)}{EI_z} \quad \rightarrow \quad EI_z y''(x) + P y(x) = 0$$

$$k = \sqrt{P/EI_z}$$

$$y''(x) + k^2 y(x) = 0$$

$$y(0) = 0$$

$$y(L) = 0$$



$$y''(x) + k^2 y(x) = 0$$

$$y(0) = 0$$

$$y(L) = 0$$

$$y(x) = a \sin(kx) + b \cos(kx)$$

$$b = 0$$

$$a \sin(kL) = 0$$

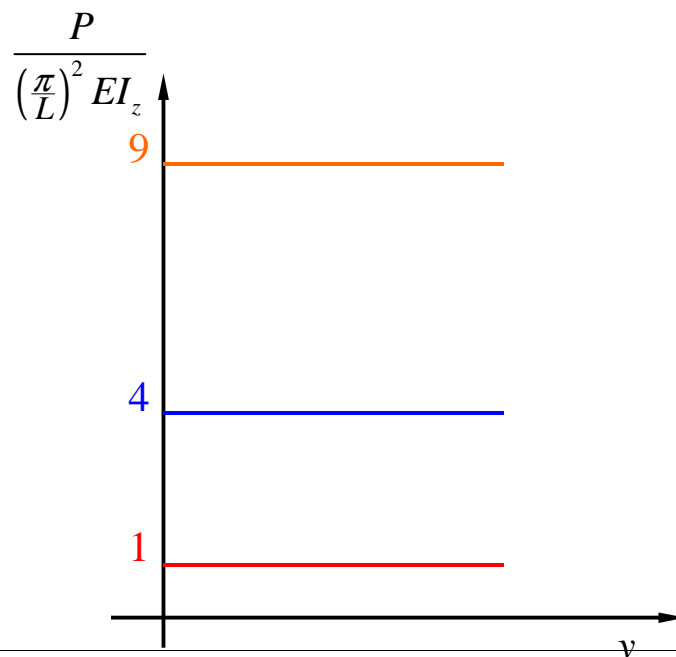
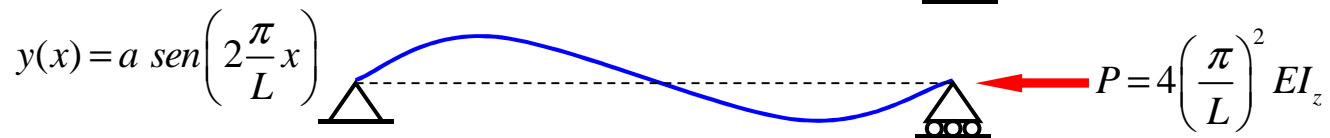
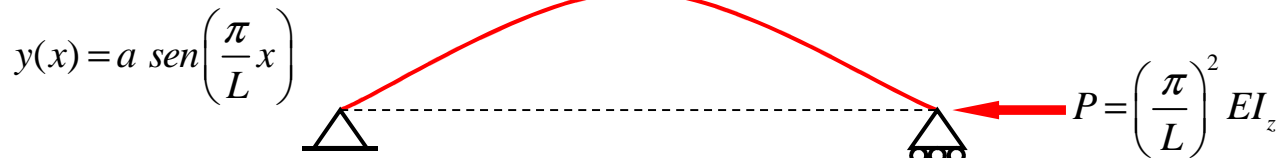
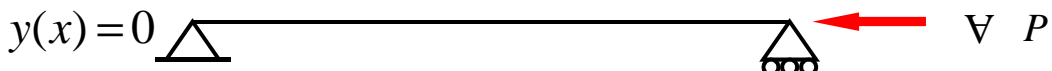
Solución sin pandeo

$$a = 0$$

Solución con pandeo

$$P = \left(\frac{n\pi}{L} \right)^2 EI_z, \quad n = 1, 2, \dots$$

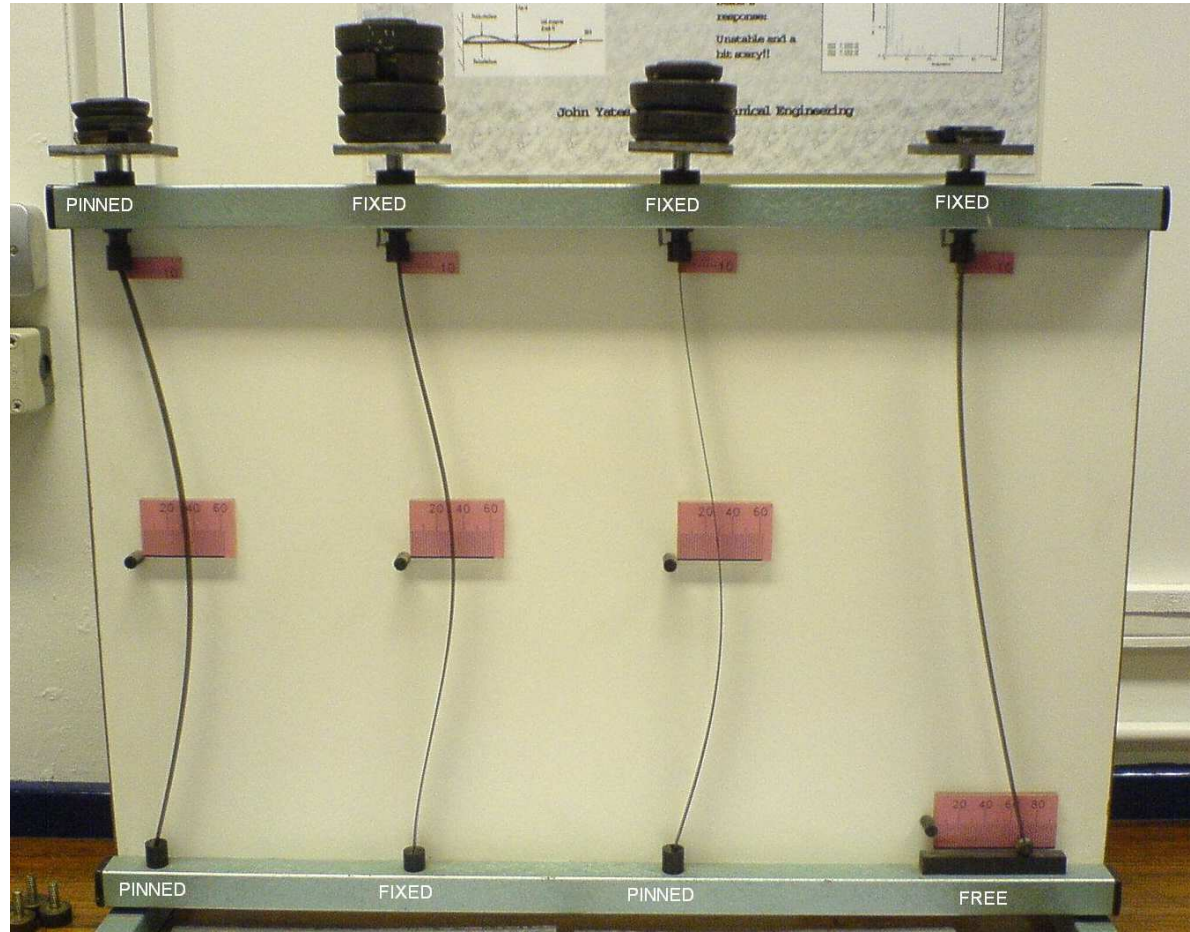




Carga crítica
de Euler

$$P_{cr} = \left(\frac{\pi}{L}\right)^2 EI_z$$

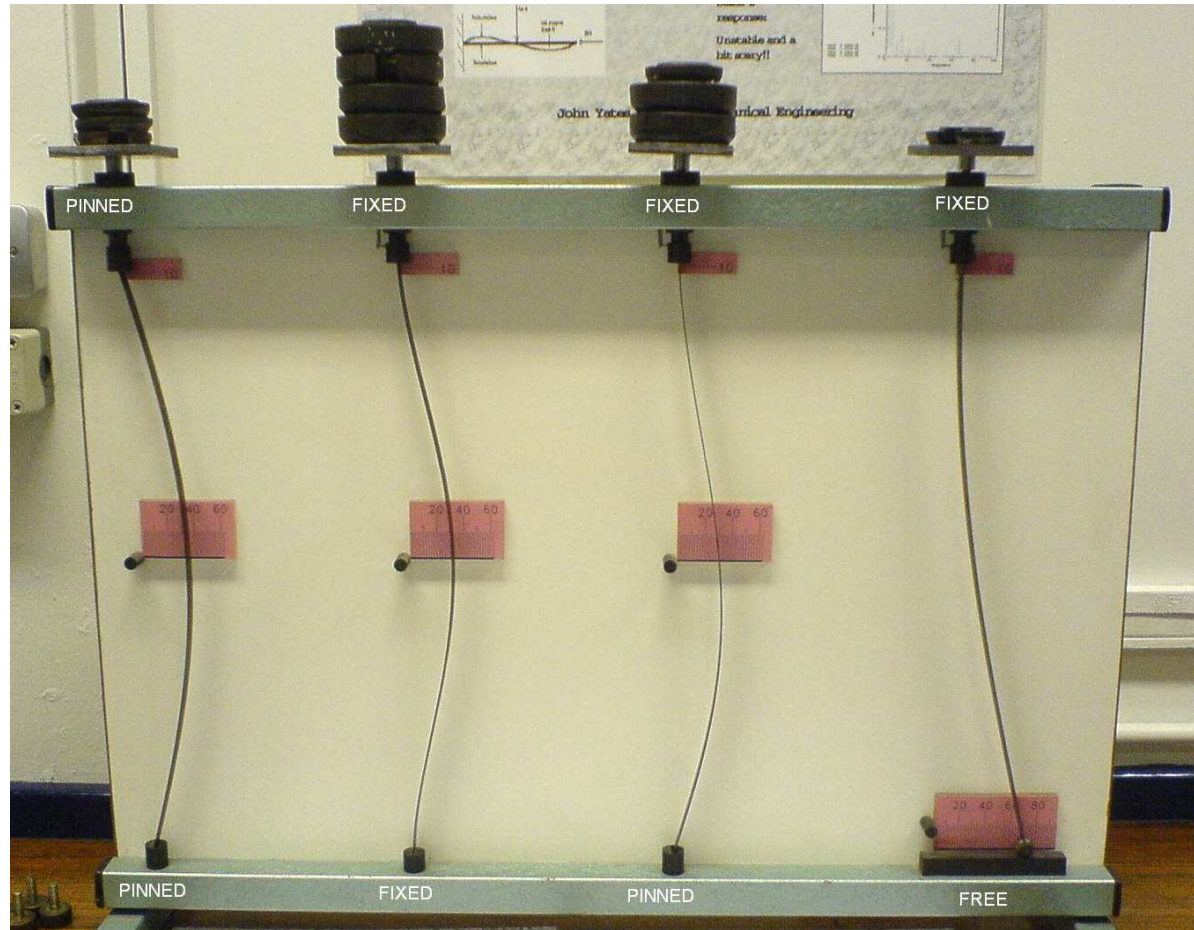
Influencia de las condiciones de apoyo



$$P_{cr} = \left(\frac{\pi}{\beta L} \right)^2 EI_z$$

*fuente: Wikipedia.org

Influencia de las condiciones de apoyo



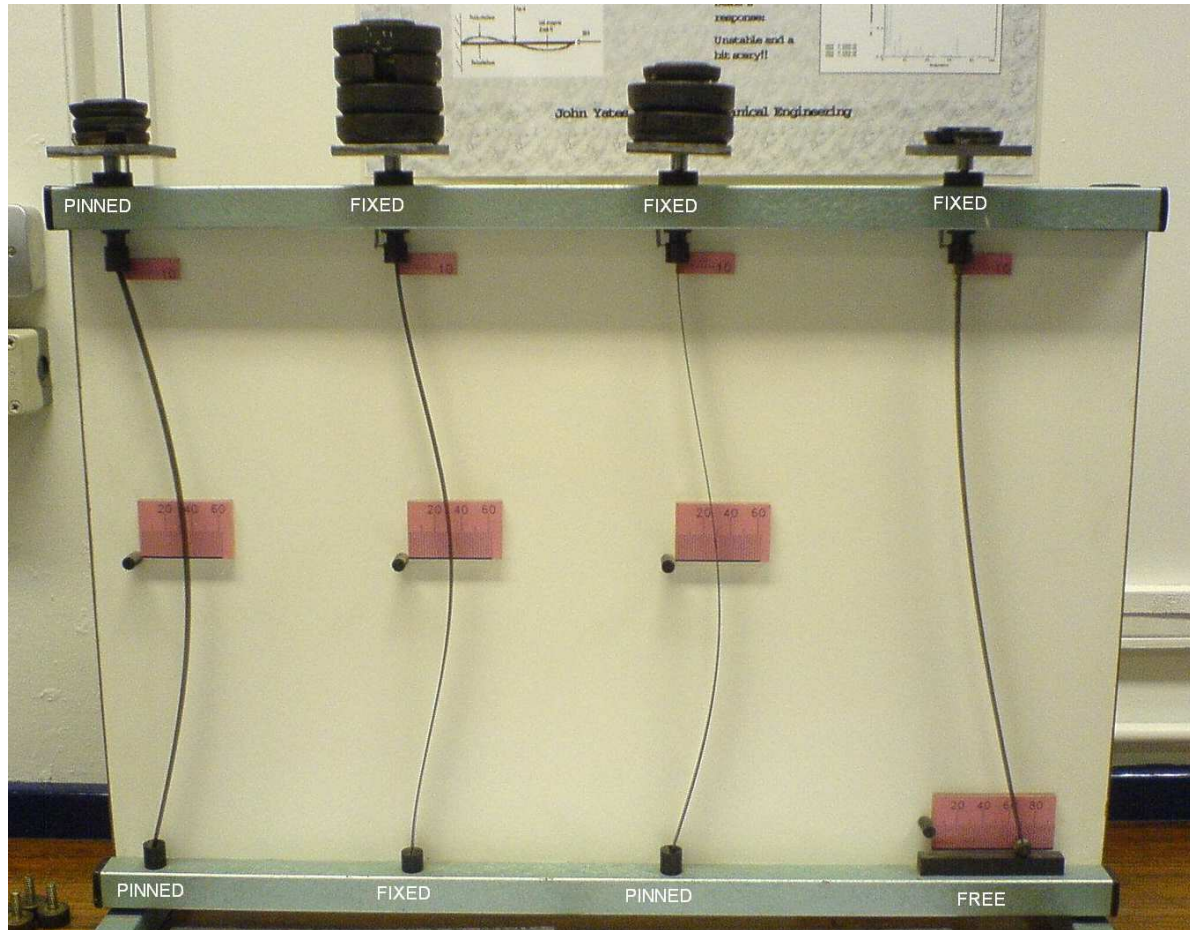
$$P_{cr} = \left(\frac{\pi}{\beta L} \right)^2 EI_z$$

Longitud
de
pandeo

$$\beta L$$

*fuente: Wikipedia.org

Influencia de las condiciones de apoyo



$$P_{cr} = \left(\frac{\pi}{\beta L} \right)^2 EI_z$$

Longitud
de
pandeo

$$\beta L$$

*fuente: Wikipedia.org

$$\beta = 1$$

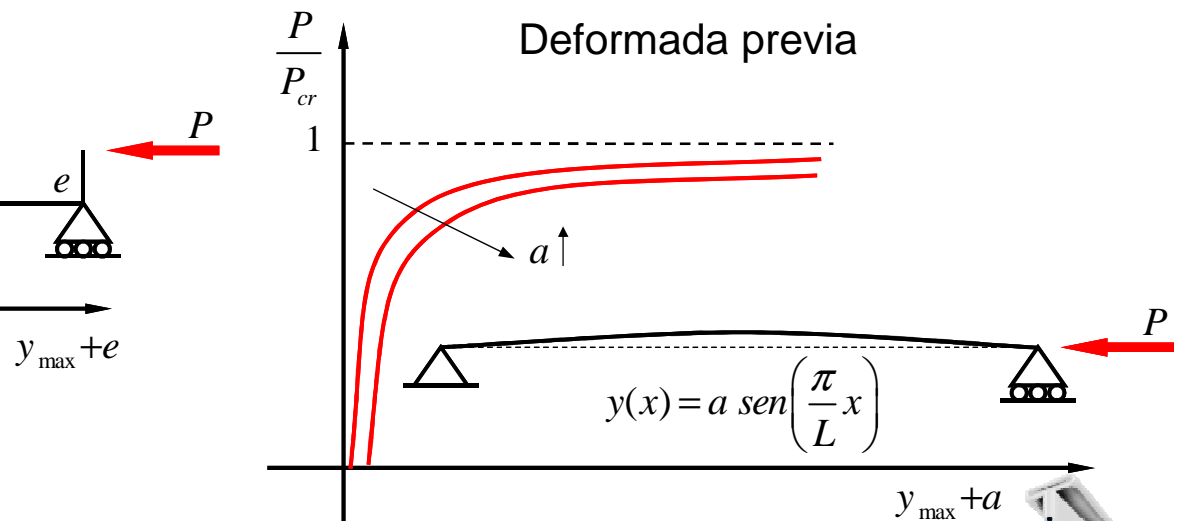
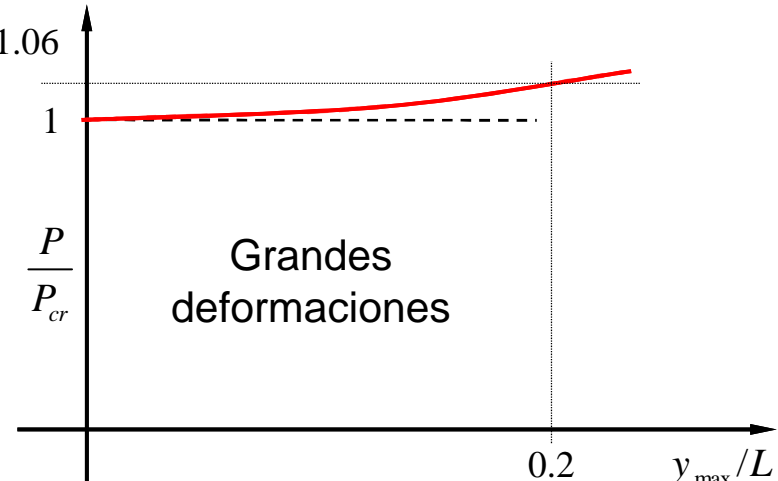
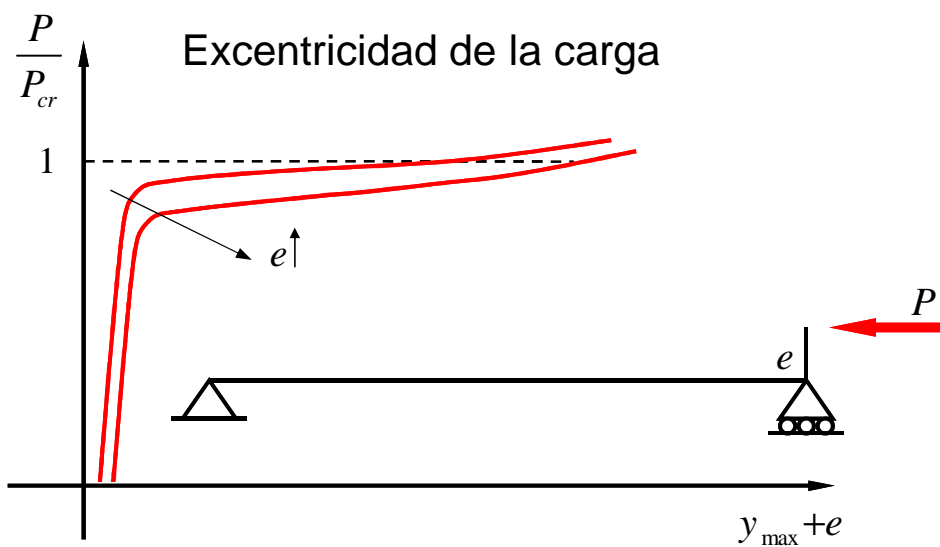
$$\beta = 0.5$$

$$\beta = 0.7$$

$$\beta = 2$$



Otros factores



Tensión crítica

$$\sigma_{cr} = \frac{P_{cr}}{A} = \left(\frac{\pi}{\beta L} \right)^2 \frac{EI_z}{A} = \left(\frac{\pi}{\beta L \frac{A}{I_z}} \right)^2 E$$

Tensión crítica

$$\sigma_{cr} = \frac{P_{cr}}{A} = \left(\frac{\pi}{\beta L} \right)^2 \frac{EI_z}{A} = \left(\frac{\pi}{\beta L \frac{A}{I_z}} \right)^2 E =$$

$$= \left(\frac{\pi}{\beta L} i_z \right)^2 E = \left(\frac{\pi}{\lambda_z} \right)^2 E$$

$$i_k = \sqrt{\frac{I_k}{A}}$$

$$\lambda_k = \frac{\beta L}{i_k}$$

**Radio de
giro**

**Eobeltez
mecánica**

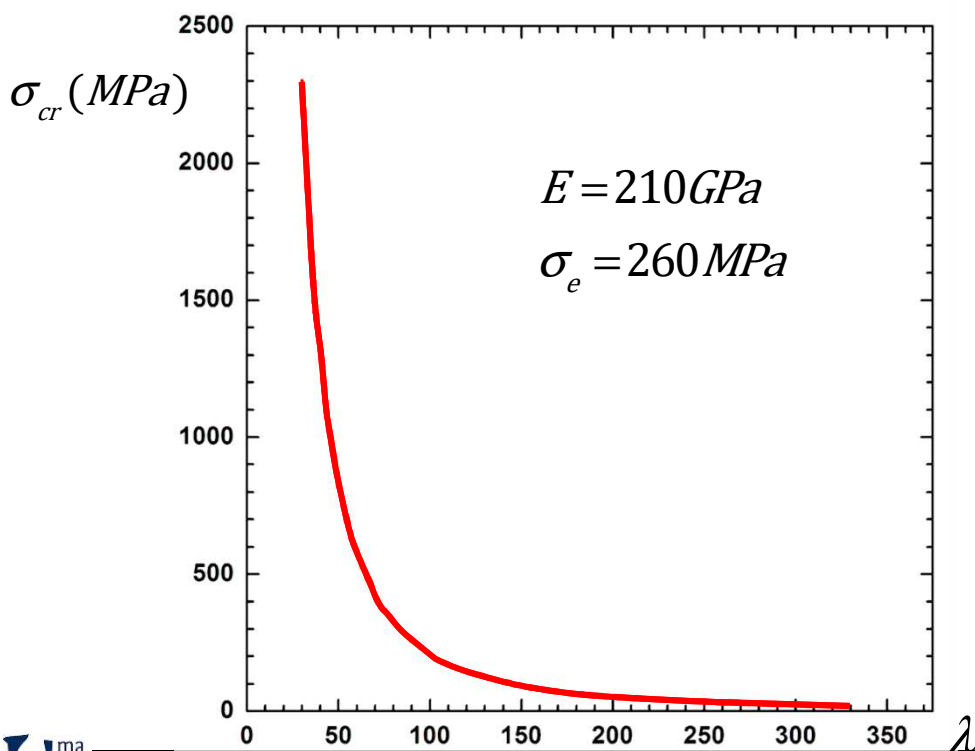


Tensión crítica

$$\sigma_{cr} = \frac{P_{cr}}{A} = \left(\frac{\pi}{\beta L} \frac{i_z}{i_k} \right)^2 E = \left(\frac{\pi}{\lambda_z} \right)^2 E$$

$i_k = \sqrt{\frac{I_k}{A}}$ Radio de giro $\lambda_k = \frac{\beta L}{i_k}$

Ebeltez
mecánica



Tensión crítica

$$\sigma_{cr} = \frac{P_{cr}}{A} = \left(\frac{\pi}{\beta L} i_z \right)^2 E = \left(\frac{\pi}{\lambda_z} \right)^2 E$$

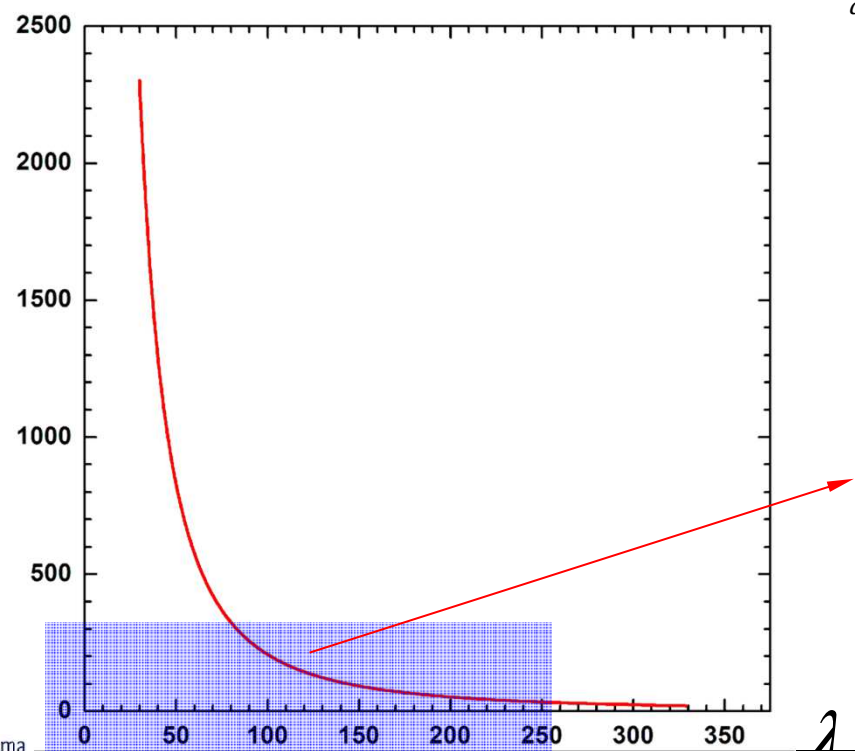
$$i_k = \sqrt{\frac{I_k}{A}}$$

Radio de
giro

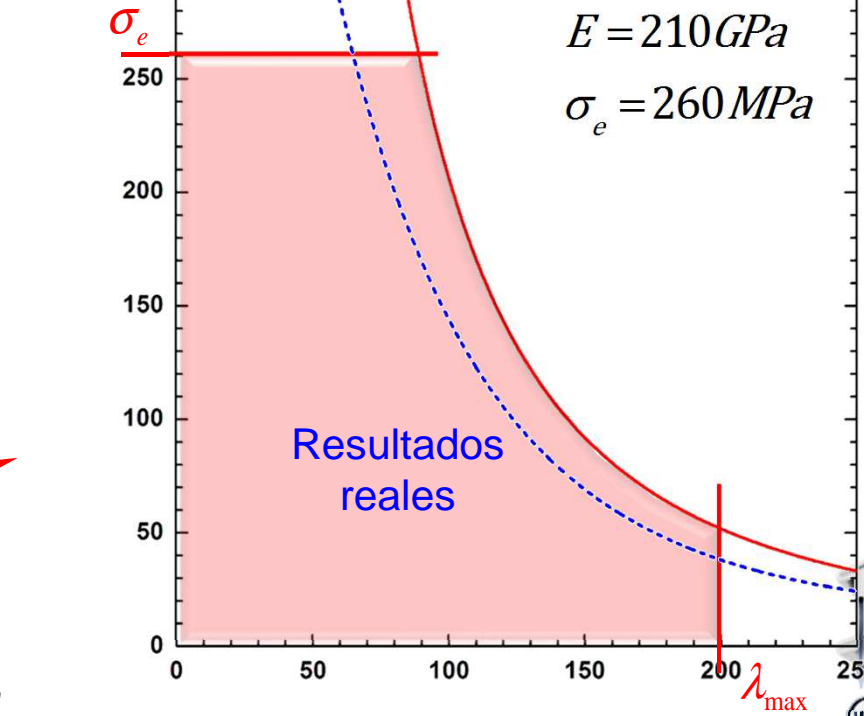
$$\lambda_k = \frac{\beta L}{i_k}$$

Ebeltez
mecánica

$$\sigma_{cr} (MPa)$$



$$\sigma_{cr} (MPa)$$



Tensión crítica

$$\sigma_{cr} = \frac{P_{cr}}{A} = \left(\frac{\pi}{\beta L} \frac{i_z}{i_k} \right)^2 E = \left(\frac{\pi}{\lambda_z} \right)^2 E$$

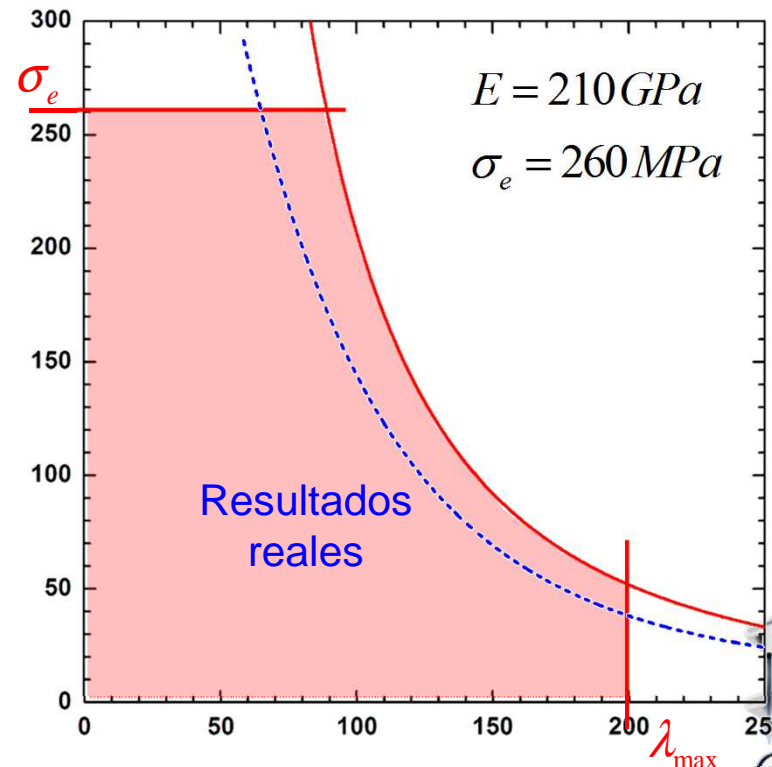
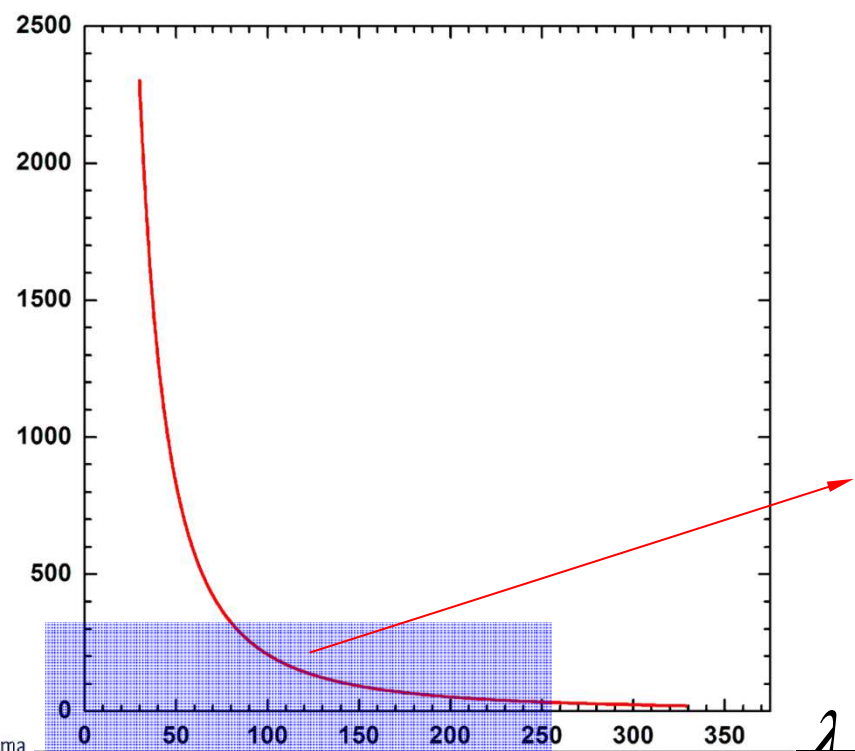
$$i_k = \sqrt{\frac{I_k}{A}}$$

Radio de
giro

$$\lambda_k = \frac{\beta L}{i_k}$$

Ebeltez
mecánica

$$\sigma_{cr} (MPa)$$



Comprobación a pandeo (para estructuras de acero) según el código técnico

CTE

Código Técnico de la Edificación

Marzo de 2006



Tabla 4.1 Características mecánicas mínimas de los aceros UNE EN 10025

| DESIGNACIÓN | Espesor nominal t (mm) | | | | Temperatura del ensayo Charpy °C |
|-------------|---|------------------|--|---------------------|----------------------------------|
| | Tensión de límite elástico f_y (N/mm ²) | | Tensión de rotura f_u (N/mm ²) | | |
| | $t \leq 16$ | $16 < t \leq 40$ | $40 < t \leq 63$ | $3 \leq t \leq 100$ | |
| S235JR | | | | | 20 |
| S235J0 | 235 | 225 | 215 | 360 | 0 |
| S235J2 | | | | | -20 |
| S275JR | | | | | 20 |
| S275J0 | 275 | 265 | 255 | 410 | 0 |
| S275J2 | | | | | -20 |
| S355JR | | | | | 20 |
| S355J0 | 355 | 345 | 335 | 470 | 0 |
| S355J2 | | | | | -20 |
| S355K2 | | | | | -20 ⁽¹⁾ |
| S450J0 | 450 | 430 | 410 | 550 | 0 |

⁽¹⁾ Se le exige una energía mínima de 40J.

Las siguientes son características comunes a todos los aceros:

- módulo de Elasticidad: E 210.000 N/mm²
- módulo de Rígidez: G 81.000 N/mm²
- coeficiente de Poisson: ν 0,3
- coeficiente de dilatación térmica: α $1,2 \cdot 10^{-5}$ $(^{\circ}\text{C})^{-1}$
- densidad: ρ 7.850 kg/m³

5.2.4 Tipos de sección

- 1 Según la capacidad de deformación y de desarrollo de la resistencia plástica de los elementos planos comprimidos de una sección solicitada por un momento flector, esta se clasifica en una de las cuatro clases siguientes:

Tabla 5.1 Clasificación de secciones transversales solicitadas por momentos flectores

| | |
|---|--|
| Clase 1: Plástica | Permiten la formación de la rótula plástica con la capacidad de rotación suficiente para la redistribución de momentos. |
| Clase 2: Compacta | Permiten el desarrollo del momento plástico con una capacidad de rotación limitada. |
| Clase 3: Semicompacta o Elástica | En la fibra más comprimida se puede alcanzar el límite elástico del acero pero la abolladura impide el desarrollo del momento plástico |
| Clase 4: Esbelta | Los elementos total o parcialmente comprimidos de las secciones esbeltas se abullan antes de alcanzar el límite elástico en la fibra más comprimida. |

- 2 Para la verificación de la seguridad estructural se deberá emplear uno de los métodos de cálculo definidos en la tabla 5.2, en concordancia con la clase de las secciones transversales.

Tabla 5.2 Métodos de cálculo

| Clase de sección | Método para la determinación de las solicitudes | Método para la determinación de la resistencia de las secciones |
|------------------|---|---|
| Plástica | Plástico o Elástico | Plástico o Elástico |
| Compacta | Elástico | Plástico o Elástico |
| Semicompacta | Elástico | Elástico |
| Esbelta | Elástico con posible reducción de rigidez | Elástico con resistencia reducida |



6.3.2.1 Barras rectas de sección constante y axil constante

- 1 Se denomina esbeltez reducida $\bar{\lambda}$, a la relación entre la resistencia plástica de la sección de cálculo y la compresión crítica por pandeo, de valor

$$\bar{\lambda} = \sqrt{\frac{A \cdot f_y}{N_{cr}}}$$

$$N_{cr} = \left(\frac{\pi}{L_k} \right)^2 \cdot E \cdot I$$

**Comprobación a pandeo
según el código técnico
(acero)**

(6.18)

siendo

E módulo de elasticidad;

I momento de inercia del área de la sección para flexión en el plano considerado;

L_k longitud de pandeo de la pieza, equivalente a la distancia entre puntos de inflexión de la deformación de pandeo que la tenga mayor. Para los casos canónicos se define en la tabla 6.1 en función de la longitud de la pieza. Para condiciones diferentes para la carga axial o la sección se define en apartados posteriores.

Tabla 6.1 Longitud de pandeo de barras canónicas

| Condiciones de extremo | biarticulada | biempotrada | empotrada articulada | biempotrada desplazable | en ménsula |
|------------------------|--------------|-------------|----------------------|-------------------------|------------|
| Longitud L_k | 1,0 L | 0,5 L | 0,7 L | 1,0 L | 2,0 L |



- 2 El coeficiente χ de reducción por pandeo, para valores de la esbeltez reducida $\lambda_k \geq 0,2$, se obtiene de:

$$\chi = \frac{1}{\phi + \sqrt{\phi^2 - (\lambda_k^-)^2}} \leq 1 \quad (6.19)$$

donde

$$\phi = 0,5 \cdot \left[1 + \alpha \cdot (\bar{\lambda}_k - 0,2) + (\bar{\lambda}_k^-)^2 \right] \quad (6.20)$$

α es el coeficiente de imperfección elástica, que adopta los valores de la tabla 6.3 en función de la curva de pandeo (véase tabla 6.2). Ésta representa la sensibilidad al fenómeno dependiendo del tipo de sección, plano de pandeo y tipo de acero, de acuerdo a la tabla 6.2.

- 3 Los valores del coeficiente χ se pueden obtener directamente de la figura 6.3 o de la tabla 6.3, en función del coeficiente de imperfección y de la esbeltez reducida.

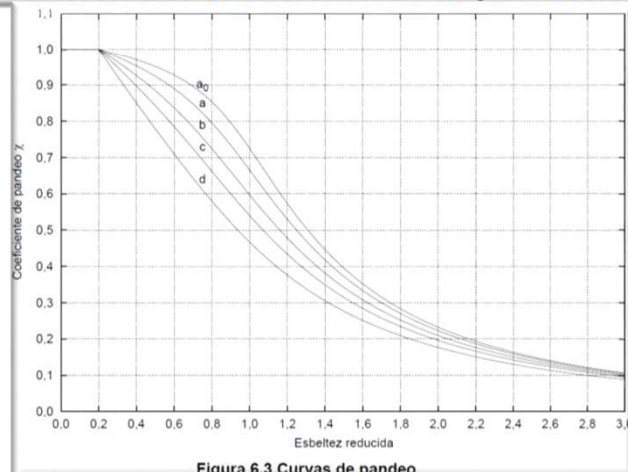


Figura 6.3 Curvas de pandeo

| Esbeltez reducida | Tabla 6.3 Valores del coeficiente de pandeo (χ) | | | | | |
|---------------------|--|-------|------|------------------------|------|------|
| | Coefficiente (α) de imperfección | a_0 | a | Curva de pandeo b | c | d |
| ≤ 0,20 | 0,13 | 1,00 | 1,00 | 1,00 | 1,00 | 1,00 |
| 0,30 | | 0,99 | 0,98 | 0,96 | 0,95 | 0,92 |
| 0,40 | | 0,97 | 0,95 | 0,93 | 0,90 | 0,85 |
| 0,50 | | 0,95 | 0,92 | 0,88 | 0,84 | 0,78 |
| 0,60 | | 0,93 | 0,89 | 0,84 | 0,79 | 0,71 |
| 0,70 | | 0,90 | 0,85 | 0,78 | 0,72 | 0,64 |
| 0,80 | | 0,85 | 0,80 | 0,72 | 0,66 | 0,58 |
| 0,90 | | 0,80 | 0,73 | 0,66 | 0,60 | 0,52 |
| 1,00 | | 0,73 | 0,67 | 0,60 | 0,54 | 0,47 |
| 1,10 | | 0,65 | 0,60 | 0,54 | 0,48 | 0,42 |
| 1,20 | | 0,57 | 0,53 | 0,48 | 0,43 | 0,38 |
| 1,30 | | 0,51 | 0,47 | 0,43 | 0,39 | 0,34 |
| 1,40 | | 0,45 | 0,42 | 0,38 | 0,35 | 0,31 |
| 1,50 | | 0,40 | 0,37 | 0,34 | 0,31 | 0,28 |
| 1,60 | | 0,35 | 0,32 | 0,31 | 0,28 | 0,25 |
| 1,80 | | 0,28 | 0,27 | 0,25 | 0,23 | 0,21 |
| 2,00 ⁽¹⁾ | | 0,23 | 0,22 | 0,21 | 0,20 | 0,18 |
| 2,20 ⁽¹⁾ | | 0,19 | 0,19 | 0,18 | 0,17 | 0,15 |
| 2,40 ⁽¹⁾ | | 0,16 | 0,16 | 0,15 | 0,14 | 0,13 |
| 2,70 ⁽²⁾ | | 0,13 | 0,13 | 0,12 | 0,12 | 0,11 |
| 3,00 ⁽²⁾ | | 0,11 | 0,10 | 0,10 | 0,10 | 0,09 |

⁽¹⁾ esbeltez intolerable en los elementos principales

⁽²⁾ esbeltez intolerable incluso en elementos de arriostramiento



Tabla 6.3 Valores del coeficiente de pandeo (χ)

| Ebeltez reducida | Curva de pandeo | | | | |
|--|-----------------|------|------|------|------|
| | a_0 | a | b | c | d |
| Coeficiente (α) de imperfección | 0,13 | 0,21 | 0,34 | 0,49 | 0,76 |
| ≤ 0,20 | 1,00 | 1,00 | 1,00 | 1,00 | 1,00 |
| 0,30 | 0,99 | 0,98 | 0,96 | 0,95 | 0,92 |
| 0,40 | 0,97 | 0,95 | 0,93 | 0,90 | 0,85 |
| 0,50 | 0,95 | 0,92 | 0,88 | 0,84 | 0,78 |
| 0,60 | 0,93 | 0,89 | 0,84 | 0,79 | 0,71 |
| 0,70 | 0,90 | 0,85 | 0,78 | 0,72 | 0,64 |
| 0,80 | 0,85 | 0,80 | 0,72 | 0,66 | 0,58 |
| 0,90 | 0,80 | 0,73 | 0,66 | 0,60 | 0,52 |
| 1,00 | 0,73 | 0,67 | 0,60 | 0,54 | 0,47 |
| 1,10 | 0,65 | 0,60 | 0,54 | 0,48 | 0,42 |
| 1,20 | 0,57 | 0,53 | 0,48 | 0,43 | 0,38 |
| 1,30 | 0,51 | 0,47 | 0,43 | 0,39 | 0,34 |
| 1,40 | 0,45 | 0,42 | 0,38 | 0,35 | 0,31 |
| 1,50 | 0,40 | 0,37 | 0,34 | 0,31 | 0,28 |
| 1,60 | 0,35 | 0,32 | 0,31 | 0,28 | 0,25 |
| 1,80 | 0,28 | 0,27 | 0,25 | 0,23 | 0,21 |
| 2,00 ⁽¹⁾ | 0,23 | 0,22 | 0,21 | 0,20 | 0,18 |
| 2,20 ⁽¹⁾ | 0,19 | 0,19 | 0,18 | 0,17 | 0,15 |
| 2,40 ⁽¹⁾ | 0,16 | 0,16 | 0,15 | 0,14 | 0,13 |
| 2,70 ⁽²⁾ | 0,13 | 0,13 | 0,12 | 0,12 | 0,11 |
| 3,00 ⁽²⁾ | 0,11 | 0,10 | 0,10 | 0,10 | 0,09 |

⁽¹⁾ esbeltez intolerable en los elementos principales⁽²⁾ esbeltez intolerable incluso en elementos de arriostramiento

Tabla 6.2 Curva de pandeo en función de la sección transversal

| Tipo de sección | Eje de pandeo ⁽¹⁾ | Tipo de acero | | S235 a S355 | | S450 | |
|--------------------------------|---|---------------|-------------------------|-------------|---|-------|-------|
| | | y | z | y | z | y | z |
| Perfiles laminados en I | | | | | | | |
| | $h/b > 1,2$ | | $t \leq 40 \text{ mm}$ | a | b | a_0 | a_0 |
| | $40 \text{ mm} < t \leq 100 \text{ mm}$ | | | b | c | a | a |
| | $h/b \leq 1,2$ | | $t \leq 100 \text{ mm}$ | b | c | a | a |
| | $t > 100 \text{ mm}$ | | | d | d | c | c |

Perfiles armados en I

| | | | | | | |
|--|---|------------------------|---|---|---|---|
|  |  | $t \leq 40 \text{ mm}$ | b | c | b | c |
|  |  | $t > 40 \text{ mm}$ | c | d | c | d |

Agrupación de perfiles laminados soldados

c c c c



| Tipo de sección | Tipo de acero | S235 a S355 | | S450 | |
|--|--|------------------------------|---|-------|-------|
| | | Eje de pandeo ⁽¹⁾ | y | z | y |
| Tubos de chapa simples o agrupados | laminados en caliente | a | a | a_0 | a_0 |
| | conformados en frío | c | c | c | c |
| Perfiles armados en cajón ⁽²⁾ | soldadura gruesa: $a/t > 0,5$ $b/t < 30$ $h/t_w < 30$ | c | c | c | c |
| | en otro caso | b | b | b | b |
| Perfiles simples U, T, chapa, redondo macizo | | c | c | c | c |
| Perfiles L | | b | b | b | b |

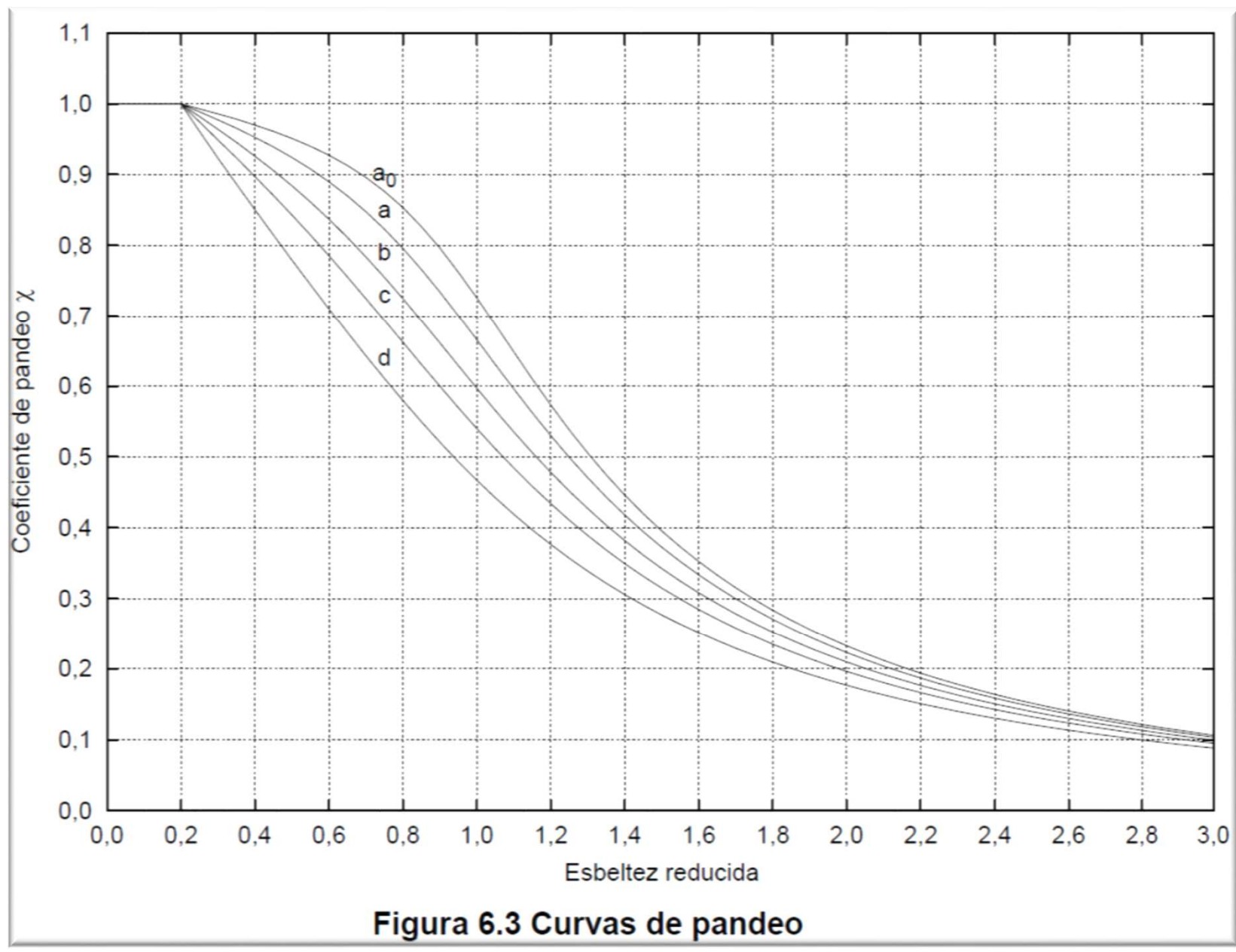


Figura 6.3 Curvas de pandeo

6.3.2.2 Esfuerzos axiles variables

- 1 Las barras de sección constante solicitadas por esfuerzos axiles que varian de forma lineal o parabólica a lo largo del eje podrán calcularse como sometidas a un esfuerzo axial constante de valor igual al máximo axial actuante y con la longitud de pandeo igual a:

$$L_k = L \sqrt{\frac{1 + a \cdot N_{min} / N_{max}}{b}}$$

en la que los parámetros a y b tienen los valores:

- | | | |
|---|--------------------------------|----------|
| a) variación lineal, máximo en el centro: | dblemente articulada: a = 2,18 | b = 3,18 |
| | dblemente empotrada: a = 0,93 | b = 7,72 |
| b) variación parabólica, máximo en el centro: | dblemente articulada: a = 1,09 | b = 2,09 |
| | dblemente empotrada: a = 0,35 | b = 5,40 |
| c) ménsula con máximo en el empotramiento: | variación lineal: a = 2,18 | b = 3,18 |
| | variación parabólica: a = 1,09 | b = 2,09 |
| e) variación lineal, máximo en un extremo: | dblemente articulada: a = 0,88 | b = 1,88 |
| | dblemente empotrada: a = 0,93 | b = 7,72 |
| articulada en el mínimo y empotrada en el máximo: | a = 1,65 | b = 5,42 |
| articulada en el máximo y empotrada en el mínimo: | a = 0,51 | b = 3,09 |

Para toda pieza:

$$\frac{N_{Ed}}{\chi_y \cdot A' \cdot f_{yd}} + k_y \cdot \frac{c_{m,y} \cdot M_{y,Ed} + e_{N,y} \cdot N_{Ed}}{\chi_{LT} W_y \cdot f_{yd}} + \alpha_z \cdot k_z \cdot \frac{c_{m,z} \cdot M_{z,Ed} + e_{N,z} \cdot N_{Ed}}{W_z \cdot f_{yd}} \leq 1 \quad (6.51)$$

N_{Ed} , $M_{y,Ed}$, $M_{z,Ed}$ son los valores de la fuerza axial y de los momentos de cálculo de mayor valor absoluto de la pieza,

$$f_{yd} = f_y / \gamma_{M1},$$

los valores de A' ; W_y ; W_z ; α_y ; α_z ; $e_{N,y}$; $e_{N,z}$ están indicados en la tabla 6.12;

χ_y y χ_z son los coeficientes de pandeo en cada dirección;

χ_{LT} es el coeficiente de pandeo lateral, según 6.3.3; se tomará igual a 1,00 en piezas susceptibles de pandeo por torsión.

$e_{N,y}$ y $e_{N,z}$ desplazamientos del centro de gravedad de la sección transversal efectiva con respecto a la posición del centro de gravedad de la sección transversal bruta, en piezas con secciones de clase 4.

Los coeficientes k_y , k_z , $k_{y,LT}$ se indican en la tabla 6.13.

Los factores de momento flector uniforme equivalente $c_{m,y}$, $c_{m,z}$, $c_{m,LT}$ se obtienen de la tabla 6.14 en función de la forma del diagrama de momentos flectores entre puntos arriostrados tal como se indica en la tabla.

En las barras de pórticos de estructuras sin arriostrar con longitudes de pandeo superiores a la de las propias barras debe tomarse:

$$c_m = 0,9 \quad (6.53)$$

6.3.4.2 Elementos comprimidos y flectados

- 1 A menos que se lleve a cabo un estudio más preciso mediante el procedimiento general descrito en 5.4, las comprobaciones de estabilidad de pieza se realizarán aplicando las fórmulas que se indican a continuación, distinguiendo entre las que sean sensibles o no a la torsión (por ejemplo secciones abiertas o cerradas respectivamente).

La comprobación se llevará a cabo con las fórmulas siguientes:

Para toda pieza:

$$\frac{N_{Ed}}{\chi_y \cdot A' \cdot f_{yd}} + k_y \cdot \frac{c_{m,y} \cdot M_{y,Ed} + e_{N,y} \cdot N_{Ed}}{\chi_{LT} W_y \cdot f_{yd}} + \alpha_z \cdot k_z \cdot \frac{c_{m,z} \cdot M_{z,Ed} + e_{N,z} \cdot N_{Ed}}{W_z \cdot f_{yd}} \leq 1 \quad (6.51)$$

Además, sólo en piezas no susceptibles de pandeo por torsión

$$\frac{N_{Ed}}{\chi_z \cdot A' \cdot f_{yd}} + \alpha_y \cdot k_y \cdot \frac{c_{m,y} \cdot M_{y,Ed} + e_{N,y} \cdot N_{Ed}}{W_y \cdot f_{yd}} + k_z \cdot \frac{c_{m,z} \cdot M_{z,Ed} + e_{N,z} \cdot N_{Ed}}{W_z \cdot f_{yd}} \leq 1 \quad (6.52)$$

Además, sólo en piezas susceptibles de pandeo por torsión

$$\frac{N_{Ed}}{\chi_z \cdot A' \cdot f_{yd}} + k_{y,LT} \cdot \frac{M_{y,Ed} + e_{N,y} \cdot N_{Ed}}{\chi_{LT} W_y \cdot f_{yd}} + k_z \cdot \frac{c_{m,z} \cdot M_{z,Ed} + e_{N,z} \cdot N_{Ed}}{W_z \cdot f_{yd}} \leq 1 \quad (6.53)$$

Tabla 6.12 Términos de comprobación, según peor clase de sección en la pieza

| Clase | A' | W_y | W_z | α_y | α_z | $e_{N,y}$ | $e_{N,z}$ |
|-------|-----------|-------------|-------------|------------|------------|-------------------------|-------------------------|
| 1 | A | $W_{pl,y}$ | $W_{pl,z}$ | 0,6 | 0,6 | 0 | 0 |
| 2 | A | $W_{pl,y}$ | $W_{pl,z}$ | 0,6 | 0,6 | 0 | 0 |
| 3 | A | $W_{el,y}$ | $W_{el,z}$ | 0,8 | 1 | 0 | 0 |
| 4 | A_{eff} | $W_{eff,y}$ | $W_{eff,z}$ | 0,8 | 1 | Según pieza y tensiones | Según pieza y tensiones |

Tabla 6.13 Coeficientes de interacción según peor clase de sección en la pieza

| Clase | Tipo de sección | k_y | k_z | $k_{y,LT}$ |
|----------------|-----------------|---|---|--|
| 1, H, abiertas | I, H, abiertas | $1 + (\bar{\lambda}_y - 0,2) \cdot \frac{N_{Ed}}{\chi_y N_{CRd}}$ | $1 + (2 \cdot \bar{\lambda}_z - 0,6) \cdot \frac{N_{Ed}}{\chi_z N_{CRd}}$ | el menor de $1 - \frac{0,1 \cdot \bar{\lambda}_z}{(c_{m,LT} - 0,25) \cdot \chi_z N_{CRd}}$, 0,6 + $\bar{\lambda}_z$ |
| | Hueca delgada | $1 + (\bar{\lambda}_z - 0,2) \cdot \frac{N_{Ed}}{\chi_z N_{CRd}}$ | $1 + (2 \cdot \bar{\lambda}_y - 0,6) \cdot \frac{N_{Ed}}{\chi_y N_{CRd}}$ | |
| 2 | Todas | $1 + 0,6 \cdot \bar{\lambda}_y \cdot \frac{N_{Ed}}{\chi_y N_{CRd}}$ | $1 + 0,6 \cdot \bar{\lambda}_z \cdot \frac{N_{Ed}}{\chi_z N_{CRd}}$ | $1 - \frac{0,05 \cdot \bar{\lambda}_z}{(c_{m,LT} - 0,25) \cdot \chi_z N_{CRd}}$ |

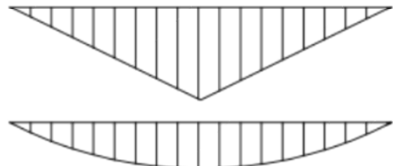
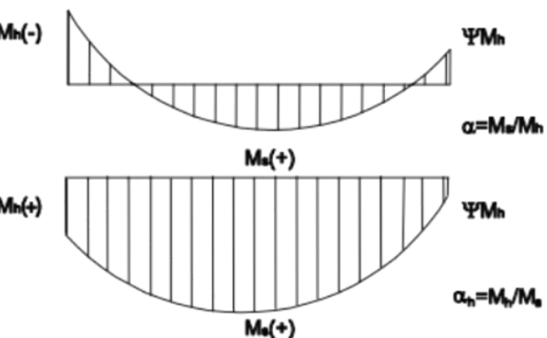
siendo

$\bar{\lambda}_y$ y $\bar{\lambda}_z$ valores de las esbelteces reducidas para los ejes y – y z – z, no mayores que 1,00.

$$N_{CRd} = A' \cdot \frac{f_y}{\gamma_{M1}}$$



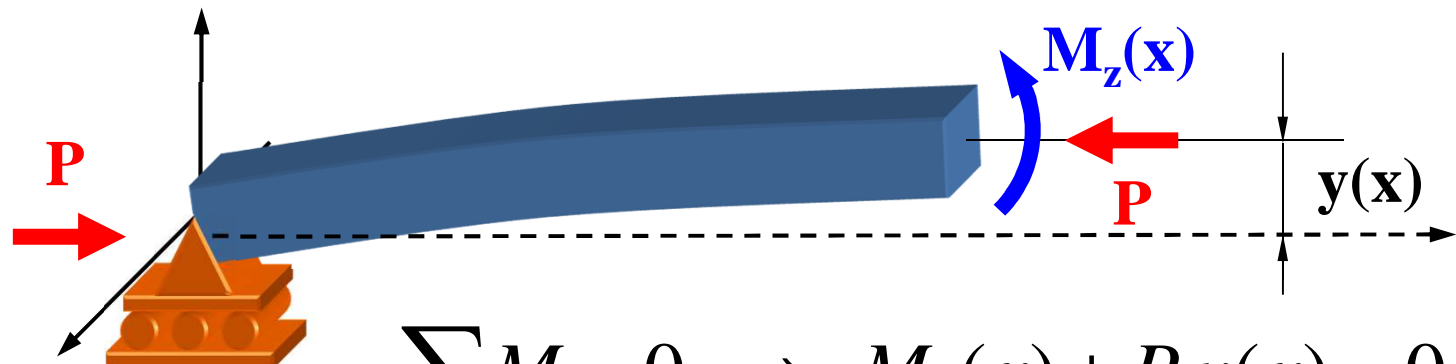
Tabla 6.14 Coeficientes del momento equivalente

| Factor de momento flector | Eje de flexión | Puntos arriostrados en dirección |
|---|----------------|---|
| $c_{m,y}$ | $y-y$ | $z-z$ |
| $c_{m,z}$ | $z-z$ | $y-y$ |
| $c_{m,LT}$ | $y-y$ | $y-y$ |
| Diagrama de Flectores | | Factor de momento uniforme equivalente |
| | | $c_{m,y} = c_{m,i} (i = y)$ |
| | | $c_{m,z} = c_{m,i} (i = z)$ |
| | | $c_{m,LT} = c_{m,i} (i = LT)$ |
| Momentos de extremo | | |
|  | | $c_{m,i} = 0,6 + 0,4 \cdot \psi \geq 0,4$ |
| Momento debido a cargas laterales coplanares | | $c_{m,i} = 0,9$ |
|  | | $c_{m,i} = 0,95$ |
| Momentos debidos a cargas laterales y momentos de extremos | | |
|  | | $c_{m,i} = 0,1 - 0,8 \cdot \alpha \geq 0,4 \quad \text{si } -1 \leq \alpha \leq 0$ $c_{m,i} = 0,2 + 0,8 \cdot \alpha \geq 0,4 \quad \text{si } 0 \leq \alpha \leq 1$ |
| | | $c_{m,i} = 0,95 + 0,05 \cdot \alpha_h \quad \text{con } -1 \leq \alpha_h \leq 1$ |

Comprobación a pandeo

$$\frac{N_{ED}}{\chi_y A} + \frac{M_{y,ED}}{W_y} + \frac{M_{z,ED}}{W_z} \leq f_{yd}$$





$$\sum M = 0 \Rightarrow M_z(x) + P y(x) = 0$$

$$y''(x) = \frac{M_z(x)}{EI_z} \quad \rightarrow \quad EI_z y''(x) + P y(x) = 0$$

$$k = \sqrt{P/EI_z}$$

$$y''(x) + k^2 y(x) = 0$$

$$y(x) = a \sin(k x) + b \cos(k x)$$

$$y(0) = 0 \qquad b = 0$$

$$y(L) = 0 \qquad a \sin(k L) = 0$$

